



بهره‌گیری از روش آماری هیدروژئومرفولوژی در برآورد رسوب تولیدی حوزه آبخیز (مطالعه موردي: حوزه‌های آبخیز زنوزچای و زیلبرچای)

لیلا کاشی زنوزی^۱، حسن احمدی^۲ و علی اکبر نظری سامانی^۳

(lzenouzi@yahoo.com) - کارشناس ارشد، دانشگاه آزاد اسلامی، واحد علوم و تحقیقات تهران، (دوسنده مسؤول)

- استاد، دانشگاه آزاد اسلامی واحد علوم و تحقیقات تهران

- دانشیار، دانشگاه تهران

تاریخ دریافت: ۹۱/۱۱/۱۶ تاریخ پذیرش: ۹۲/۱۱/۱۶

چکیده

فرسايش حوزه‌های آبخیز و بار رسوب رودخانه‌ها از چالش‌های جدی مدیریت منابع آب کشور است که تبعات منفی در بهره‌برداری از تاسیسات آبی و سدها دارد. از آنجا که حجم رواناب و شدت فرسایش خاک و بده رسوب در حوزه‌های آبخیز به ویژگی‌های هیدروژئومرفولوژیک حوزه آبخیز بستگی دارد، این پژوهش با هدف بررسی رابطه ویژگی‌های هیدروژئومرفولوژیک و محاسبه مقدار رسوبدهی ویژه در حوزه‌های آبخیز انجام یافته است. به منظور دست‌یابی به هدف پژوهش و بررسی نقش عوامل پوشش گیاهی، تنیده شبب و نفوذپذیری خاک در شکل‌گیری رخساره‌های فرسایشی، حوزه آبخیز زنوزچای، یکی از زیر‌حوزه‌های فرعی حوزه آبخیز زیلبرچای که دارای عدد تراکم شبکه زهکشی بالاتر در مقایسه با سایر زیر‌حوزه‌ها می‌باشد، انتخاب شد. محاسبه وزن هر یک از عوامل با استفاده از روش تحلیل سلسله مراتبی انجام یافت و پس از تحلیل رگرسیونی به روشن گام به گام، ضرایب تبیین آنها با وزن رخساره‌های ژئومرفولوژی در سطح اطمینان ۹۵ درصد به دست آمد. حجم رواناب تولیدی در حوزه‌های آبخیز زنوزچای و زیلبرچای، بر اساس روش SCS محاسبه شد. درنهایت، با جایگزینی ضرایب تبیین ویژگی‌های حوزه آبخیز، به عنوان ضرایب نمایی در رابطه پیشنهادی دبی-رسوب، رسوب‌دهی ویژه در حوزه‌های آبخیز زنوزچای و زیلبرچای بترتیب ۱۶۳/۶۰ و ۶۷۴/۹۷ تن در کیلومترمربع برآورد شد. نتایج حاصل از مقایسه مقادیر محاسباتی رسوب در طول دوره ۳۵ ساله، نشان داد مقدار رسوب محاسباتی در دو حوزه آبخیز مورد مطالعه بترتیب با اطمینان ۸۵ و ۹۱ درصد مورد تایید است.

واژه‌های کلیدی: رسوب ویژه، روش شماره منحنی، تحلیل سلسله مراتبی (AHP)، رخساره ژئومرفولوژی، زنوزچای

لیکن می‌توان با استفاده از مدل‌سازی فرسایش خاک و رسوب آبی میزان فرسایش و رسوب در سطح حوزه آبخیز را محاسبه نمود (۲۲). بدین منظور، مدل‌های تجربی که در مطالعات فرسایش خاک و برآورد رسوب‌دهی حوزه به کار می‌روند، با درنظر گرفتن تعدادی از عوامل موثر در فرسایش خاک و بر مبنای روش‌های مشاهده‌ای و اندازه‌گیری تجربی ارائه می‌شوند (۱). از سویی، در نگرش سیستمی، از خواص هیدرولیکی رسوب و نیروهای دینامیک حاکم بر دبی رسوب، صرف‌نظر می‌شود و بده رسوب ناشی از بارندگی، تابع روابط بارندگی-رواناب و رواناب-رسوب می‌باشد (۳۰). برآورد کمی رسوب متعلق در حوزه‌های دارای آمار هیدرومتری به آسانی امکان‌پذیر است، ولی برای حوزه‌های فاقد آمار هیدرومتری روش‌های دیگری را می‌طلبد. تحلیل منطقه‌ای ابزاری ارزشمند برای این کار است و رگرسیون چند متغیره یکی از مهم‌ترین روش‌های تحلیل منطقه‌ای است. لذا می‌توان در یک منطقه نسبتاً همگن با استفاده از تحلیل منطقه‌ای و رگرسیون چند متغیره رابطه‌ای بین

مقدمه

فرسايش خاک و تولید رسوب از جمله مسائل مهم، در بسیاری از کشورهای در حال توسعه به شمار می‌رود و اغلب روش‌های مطرح شده روی تخمين میزان بار معلق در یک ایستگاه، در زمان‌های مختلف و تحت جریان‌های مختلف تمرکز داشته و در واقع این نوع تخمين مستلزم داشتن ایستگاه در مقطع مورد نظر و در دست بودن آمار مربوطه می‌باشد. ولی در عمل بدلیل وجود محدودیت‌های فنی، اقتصادی و نیروی ماهر، امكان احداث ایستگاه رسوب سنجی و بهره‌برداری از آن فقط در چند نقطه محدود از بازه رودخانه وجود دارد (۲۰) هیدرولوژیست‌ها در صورت کمبود داده‌های غلظت رسوب معلق، از منحنی‌های سنجه برای پیش‌بینی و برآورد غلظت رسوب معلق جریان‌ها استفاده می‌کنند (۱۰). روش‌های برآورد رسوب از نظر نوع منحنی سنجه و استفاده از دبی جریان، به منحنی سنجه یک خطی، چند خطی و حد وسط دسته‌ها طبقه‌بندی می‌شوند (۲۶) که تمامی آنها از رابطه اداره احیای اراضی آمریکا (USBR) پیروی می‌کنند.

و اندازه رخساره‌های ژئومرفولوژی، مقادیر شیب و مقدار بار رسوب و شکل نهشته‌های رسوبی روی مخروط افکنه‌ها وجود دارد (۲۷،۲۱،۹) و مطالعات زیادی نشان داده‌اند که مقدار فرسایش خاک متاثر از رخساره‌های فرسایشی می‌باشد (۱۷). جمع‌بندی تحقیقات گذشته میان این است که فرآیندهای فرسایش متاثر از عوال محیطی و برای برآورد آن نیاز به بهره‌گیری از روش‌های فرآیند پایه می‌باشد. بر این اساس پژوهش حاضر نیز بهمنظور استفاده از نقشه‌های ژئومرفولوژی و رخساره‌های فرسایشی، برای بررسی دقیق رابطه بین عوامل محیطی و میزان فرسایش انجام یافته است.

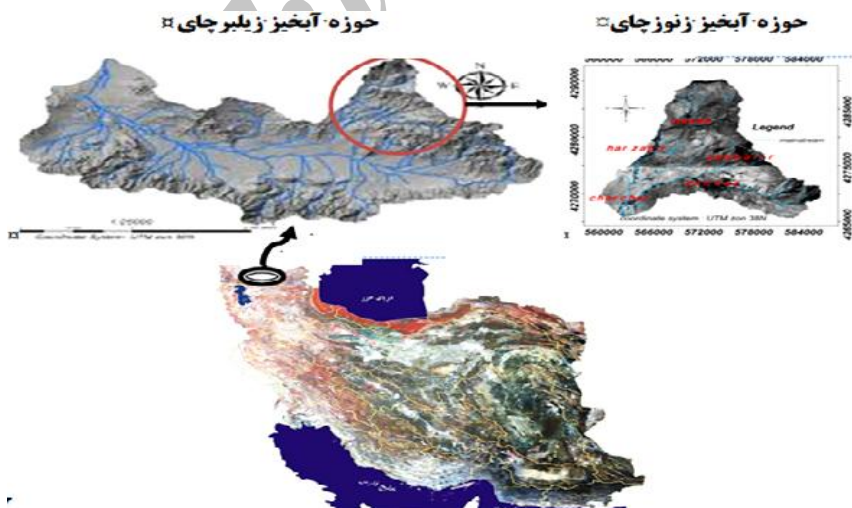
مواد و روش‌ها منطقه مورد مطالعه

حوزه آبخیز زیلبرچای در شمال غرب ایران واقع شده است و زنوزچای یکی از زیر حوزه‌های آن می‌باشد. حوزه آبخیز زیلبرچای با وسعت $2614/37$ کیلومتر مرتع، بین مختصات جغرافیایی $45^{\circ}0'0''$ تا $45^{\circ}0'46''$ عرض طول شرقی و $38M\ 26''$ تا $40M\ 45''$ عرض شمالی واقع شده است. بررسی منحنی‌های آمبروترومیک ایستگاه‌های مظفرآباد، پل چرچ و مرند نشان می‌دهد، این منطقه در ناحیه کوهستانی قرار گرفته که زمستان‌هایی بسیار سرد و تابستان معتدل دارد و متوسط بارندگی در آن حدود 300 میلی‌متر در سال می‌باشد (شکل ۱).

تولید رسوب معلق حوزه‌های دارای آمار و سایر ویژگی آنها برقرار کرده و از آن برای حوزه‌های فاقد آمار استفاده نمود (۱۲،۷).

بر اساس پژوهش‌های انجام یافته توسط محققین در راستای مدل‌سازی برآورد فرسایش خاک و برآورد رسوب آبی، بتانسیل فرسایش یک منطقه ترکیب دو بخش فرسایش‌دهندگی، شامل اقلیم یا رواناب و فرسایش‌پذیری شامل خصوصیات خاک، توپوگرافی، سنگ و کاربری اراضی است (۸) و الگوی رسوبدهی رودخانه در اثر کاهش درصد تاج پوشش گیاهی بطور معنی‌داری افزایش می‌یابد (۲۳،۱۳،۱۱۸،۶). همچنین تندی شیب و طول شیب (عامل LS)، تاثیر مشتمل در ایجاد رواناب و تولید بار رسوب معلق دارد (۳۴،۳۲،۰۹،۲). پژوهش‌های انجام یافته روی اثر پوشش سنگریزه و افزایش نفوذپذیری خاک در فرسایش خاک و تولید رسوب معلق را با استفاده از شبیه‌سازی رواناب نشان داده است با افزایش سنگریزه و نفوذپذیری خاک، سرعت حریان و ضربه زیری مانینگ و عدد فرود کاهش یافته‌اند ولی عدد رینولدز تغییرات قابل ملاحظه‌ای ندارد. همچنین تلفات خاک با افزایش نفوذپذیری به صورت نمایی کاهش می‌یابد (۱۶). با مطالعات انجام یافته روی تاثیر پوشش سنگریزه و افزایش نفوذپذیری خاک با استفاده از شبیه‌سازی رواناب، چنین استنباط شده است که با افزایش نفوذپذیری مقدار کل رسوب کاهش می‌یابد (۳۳،۱۵).

از سویی، پذیرفته شده که رابطه‌ای تنگاتنگ بین نوع



شکل ۱- موقعیت جغرافیایی منطقه مورد مطالعه

روش پژوهش

هوایی و هشت نقطه کنترل زمینی انجام شد. تبدیل هندسی انجام شده تولید $RMSE \pm 0/1$ میکرومتر در جهت‌های X, Y, Z می‌کند. نقشه درصد تراکم تاج پوشش گیاهی با استفاده از نقشه‌های توپوگرافی و تفسیر عکس‌های هوایی و تصاویر ماهواره IRS^۳ (۲۰۰۵) با شاخص NDVI تهیه شد. بهمنظور انجام بازدیدهای میدانی و نمونه‌برداری، سه نقشه شیب در هشت کلاس، رخساره‌های ژئومرفولوژی و لیتوولوژی با هم تلفیق و ۴۳ واحد کاری در حوزه مطالعاتی تشکیل شد. نقشه رخساره‌های ژئومرفولوژی، پس از بازدیدهای میدانی و انجام آزمون آماری به روشن Random Sampling مورد بازبینی مجدد قرار گرفت. نقشه تولید شده با شاخص کاپای ۰/۹۳ و درصد اطمینان ۰/۹۴٪ قابل استفاده می‌باشد (جدول ۱) و پس از تعیین نقاط نمونه‌برداری بر روی واحدهای کاری همگن با استفاده از روش آماری Stratified Random Sampling برداشت شده و با انجام آزمایشات خاک نقشه نفوذیری خاک تهیه شد. نقشه‌های پایه کلاس‌بندی شده و با استفاده از روش تحلیل سلسله مراتبی (AHP)^۴ وزن تمام طبقات نسبت به هدف فرسایش و تولید رسوب مورد انتظار در هریک از آنها، محاسبه شدند. به عبارت دیگر هر کدام از طبقات که نقش کاهده‌تر در پدیده فرسایش داشته باشد وزن کمتر و هر کدام از طبقات که اثر تشدیدکننده‌گی در رخداد فرسایش داشته است وزن بیشتری به خود اختصاص می‌دهد (جدول ۲)

ابتدا حوزه آبخیز زیلبرچای به ۵۶ زیر حوزه تقسیم‌بندی شد. طبق رابطه (۱) زیر حوزه نزوزچای با عدد تراکم شبکه زهکشی برابر $5/57 \text{ km}^2$ عدد تراکم شبکه زهکشی در کل حوزه آبخیز زیلبرچای $5/22 \text{ km}^2$ محاسبه شد) دارای بیشترین تراکم شبکه زهکشی نسبت به سایر زیر حوزه‌های است و روی آن در محل پیوستن به آبراهه اصلی زیلبرچای ایستگاه هیدرومتری به نام پل چرچر احداث شده است، لذا برای بررسی رگرسیونی ویژگی‌های ژئومرفولوژیک حوزه آبخیز نزوزچای خود شامل هشت زیر حوزه بوده است.

$$(1) Dd = L_i / A$$

که در آن: Dd : تراکم زهکشی (بر کیلومتر) و L_i : طول آبراهه‌ها (کیلومتر) و A : مساحت حوزه (کیلومترمربع) می‌باشد.

سپس، نقشه‌های پایه در حوزه آبخیز نزوزچای، مشتمل بر نقشه‌های درصد شیب، درصد تراکم تاج پوشش گیاهی و نفوذپذیری خاک تهیه شد. نقشه شیب بر اساس نقشه‌های توپوگرافی (۱:۲۵۰۰۰) با استفاده از نرم‌افزار ArcGIS 9.3 تهیه شد. نقشه ژئومرفولوژی سال ۱۳۷۵ از طریق اورتوفتوی تهیه شده از عکس‌های هوایی (۱:۴۰۰۰) به وسیله تکنیک فتوگرامتری آفاین دو بعدی رقومی شد. درون‌بایی داخلی با خطای کمتر از یک پیکسل در زوج استریو، و درون‌بایی خارجی با نقطه مرکزی عکس

جدول ۱- نتایج حاصل از آزمون آماری به روشن Erdas Imagine با استفاده از نرم‌افزار Stratified Random Sampling

شماره ردیف	رخساره‌های فرسایشی	دقت کاربر (%)	دقت مبدل (%)	دقت کاربر (%)
۱	آبراهه درجه ۳	۱۰۰	۱۰۰	۱۰۰
۲	آبراهه درجه ۲	۸۸	۹۵/۶۵	
۳	آبراهه درجه ۱	۱۰۰	۱۰۰	
۴	بدلند	۱۰۰	---	---
۵	دریاچه سد	---	---	---
۶	مناطق مسکونی	---	---	---
۷	فرسایش روانه‌های خندق	۱۰۰	۱۰۰	
۸	فرسایش شیاری	---	---	---
۹	برون‌زدگی سنگی	۱۰۰	۱۰۰	
۱۰	دامنه منظم	---	---	---
۱۱	توده سنگی	---	---	---
۱۲	فرسایش سطحی	---	---	---
۱۳	حرکت‌های توده‌ای	۸۸/۸۹	۸۸/۸۹	۸۸/۸۹
۱۴		۷۷/۷۸	۱۰۰	۷۷/۷۸

= صحت کل طبقه‌بندی
= کل شاخص آماری کاپا

1- Two Dimensional Affine

2- Root Mean Square Error

4- Analytical Hierarchy Process

3- ماهواره سنجش از دور هند (Indian Remote Sensing)

شماره ردیف	جدول ۲- حداقل و حداقل وزن‌های محاسبه شده بر اساس روش تحلیل سلسله مراتبی (AHP)	پارامترها	بیشترین وزن سلسله مراتبی	کمترین وزن سلسله مراتبی	طبقات پارامترها
۱	رخساره‌های ژئومرفولوژی	خندق	۲/۹۳		
		بدلند	۲/۲۰		
		حرکت‌های توده‌ای	۱/۸۵		
		توده سنگی		۰/۲۸	
		دامنه منظم		۰/۱۷	
۲	نفوذپذیری خاک	نفوذپذیری سریع	۱/۸۴		
		نفوذپذیری آهسته		۰/۱۲	
۳	درصد شیب	۲۰-۳۰	۲/۶۲	۱/۷۵	۳۰-۶۰
		>۶۰		۰/۱۴	
		۰-۲		۰/۱۱	
۴	درصد تاج پوشش گیاهی	۰-۳۰	۱/۲۳		۷۰-۹۰
		۹۰-۱۰۰		۰/۱۳	
				۰/۱۰	

فرسایشی نشان‌دهنده شدت فرسایش و تولید رسوب هستند، آنالیز واریانس انواع رخساره‌های ژئومرفولوژی در ارتباط با سه ویژگی حوزه آبخیز زنوزچای شامل درصد شیب، درصد تاج پوشش گیاهی و نفوذپذیری خاک در سطح معنی‌داری پنج درصد انجام یافت (جدول ۳) و معلوم شد رابطه بین رخساره‌های ژئومرفولوژی و عوامل یاد شده، در حوزه آبخیز زنوزچای در سطح پنج درصد معنی‌دار می‌باشد.

در مرحله بعد، با توجه به مقیاس متوسط و مساحت حوزه آبخیز زنوزچای، شبکه سلولی منظم مشکل از واحدهای 250×250 مترمربعی با استفاده از نرم‌افزار ArcGIS9.3 تشكیل داده و با نقشه‌های پایه قطع داده شد. وزن‌های محاسبه شده بر اساس روش تحلیل سلسله مراتبی در ستون مساحت ضرب شد و بعد از انجام آنالیز منطقه‌ای با استفاده از نرم‌افزار SPSS18.0 موردنظر تجزیه و تحلیل رگرسیونی قرار گرفت. از آنجا که نوع رخساره‌های

جدول ۳- آنالیز واریانس ویژگی‌های حوزه آبخیز زنوزچای با رخساره‌های ژئومرفولوژی

F	میانگین مربعات	درجه آزادی	مجموع مربعات	ویژگی‌های ژئومرفولوژی حوزه آبخیز زنوزچای
۰/۳۳۱	۲/۰۸۷	۲۳	۷/۹۸۴۵	بن گروهها
	۶/۳۰۱		۱/۴۴	دون گروهها شیب
			۷/۹۹۸	کل
۰/۳۷۱	۲/۰۸۴	۲۲	۷/۹۸۶	بن گروهها
	۵/۶۲۳		۱/۲۳۷	دون گروهها درصد تاج پوشش گیاهی
			۷/۹۹۸	کل
۰/۲۸۲	۲/۰۸۶	۲۵	۷/۹۸۰	بن گروهها
	۷/۳۹۹		۱/۸۵	دون گروهها نفوذپذیری خاک
			۷/۹۹۸	کل

ویژگی‌های مذبور بدست آمد (جدول ۴). با توجه به مقادیر ضریب R^2 ، مدل رگرسیونی با $R^2=0/742$ از جهت تعداد و نوع متغیرهای انتخابی، مناسب‌ترین مدل رگرسیونی برای توجیه متغیر وابسته (رخساره‌های ژئومرفولوژی) می‌باشد.

سپس میزان همبستگی بین وزن‌های محاسبه شده برای هر یک از واحدهای $6/25$ هکتاری نقشه‌های درصد شیب، درصد تاج پوشش گیاهی و نفوذپذیری خاک با وزن‌های رخساره‌های ژئومرفولوژی مورد بررسی قرار گرفت و بهترین معادله برای رخساره‌های ژئومرفولوژی و

جدول ۴- خلاصه مدل رگرسیون چند متغیره به روش گام به گام

مدل	ضرایب غیر استاندارد		R^2	معادله رگرسیون خطی
	خطای استاندارد	ضریب B		
۱	مقدار ثابت	۲۵۴۴/۸۱۷	۶۱/۸۵۳	$Y=2534/817+1/379X_1$
	درصد تاج پوشش	۱/۳۷۹	.۰/۰۰۸	
۲	مقدار ثابت	۱۴۲۴/۰۵۰	۵۸/۳۷۴	$Y=1424/050+.0/873X_1+.0/275X_2$
	درصد تاج پوشش	۰/۸۷۳	.۰/۰۰۹	
۳	درصد تندی شیب دامنه	۰/۳۷۵	.۰/۰۰۴	$Y=1240/801+.0/827X_1+.0/296X_2+.0/83X_3$
	مقدار ثابت	۱۲۴۰/۸۰۱	۵۹/۳۱۹	
۴	درصد تاج پوشش	۰/۸۲۷	.۰/۰۱۰	
	درصد تندی شیب دامنه	۰/۳۶۹	.۰/۰۰۳	
	نفوذپذیری خاک	۰/۰۸۳	.۰/۰۰۵	

محاسبه شد و سپس با نتایج حاصل از مطالعات انجام شده توسط کارشناسان مجروب وزارت جهاد کشاورزی درایستگاه مظفرآباد، واقع در انتهای خروجی زیلبرچای (۴)، مشاهده شد که مقدار رسوب ویژه محاسبه شده، با اطمینان ۹۱ درصد قابل قبول می‌باشد.

نتایج و بحث

آنالیز واریانس ویژگی‌های حوزه آبخیز زنوزچای با رخساره‌های ژئومرفولوژی نشان داد رابطه معنی‌دار میان آنها برقرار است. از سویی ویژگی‌های ژئومرفولوژیک حوزه آبخیز از توان کنترل مولفه‌های آب نمود و شدت فرسایش و تولید رسوب برخودار می‌باشند (۵). همچنین، مقادیر فرسایش خاک و رسوبدهی حوزه آبخیز بر اساس نوع رخساره‌های ژئومرفولوژیک تشکیل یافته در سطح حوزه آبخیز، قبل محاسبه هستند (۶). نتایج حاصل از تحلیل آماری رگرسیونی چند متغیره در سطح اطمینان ۹۵ درصد، به روش گام به گام بین سه ویژگی تندی شیب و درصد تاج پوشش گیاهی و نفوذپذیری خاک با رخساره‌های ژئومرفولوژی نیز حاکی از آنست که رخساره‌های ژئومرفولوژی با ویژگی‌های حوزه آبخیز دارای ضرایب تبیین بالا و خطای استاندارد کمتر می‌باشند. (جدول ۵). همچنین انواع مختلف رخساره‌های فرسایشی، بطور متفاوت، متاثر از عوامل مذکور هستند و می‌توانند بر اساس شرایط منطقه مطالعاتی متفاوت باشند.

ضرایب همبستگی ویژگی‌های حوزه‌های آبخیز از جمله ضریب همبستگی رخساره‌های ژئومرفولوژی با ویژگی‌های یاد شده در حوزه آبخیز، معیار مناسبی برای سنجش میزان شدت تاثیر آن ویژگی‌ها در ایجاد فرسایش و به تبع آن تولید رواناب و رسوب معلق در سطح حوزه آبخیز است (۷). ضرایب همبستگی پیرسون با آزمون فرض مساوی بودن ضرایب همبستگی محاسبه شدند.

در مرحله بعد نقشه CN برای کل حوزه آبخیز زیلبرچای تهیه شد و با استفاده از CN متوسط حوزه آبخیز، بر اساس روش SCS ارتفاع رواناب برای حوزه‌های آبخیز زنوزچای و زیلبرچای محاسبه شد (رابطه ۲) و متعاقباً با ضرب ارتفاع رواناب در مساحت حوزه آبخیز حجم رواناب کل حوزه بدست آمد.

$$Q=(P-0.2S)^{1/2} (P+0.8, P>0.2S) \quad (2)$$

که در آن Q: ارتفاع رواناب (سانتی‌متر) و P: ارتفاع بارندگی ۲۴ ساعته (سانتی‌متر) و S، حداکثر توان نگهداری مربوط ریاضی و نفوذ در خاک و ذخیره سطحی (سانتی‌متر) است که بر حسب سانتی‌متر و طبق رابطه (۳) و با استفاده از CN متوسط حوزه آبخیز محاسبه شد.

$$S=(2540/CN)-25.4 \quad (3)$$

در نهایت بر اساس روش آزمون و خطای از سویی با توجه به یافته محققین در ارتباط با روابط موجود بین درصد شیب دامنه، نفوذپذیری خاک و درصد تاج پوشش گیاهی با مقدار فرسایش و رسوب تولید شده درصد شیب دامنه (۲۲، ۱۸، ۱۶، ۲) رابطه بین رواناب و رسوب ویژه ایجادگردید. مقدار رسوب ویژه در حوزه آبخیز زنوزچای محاسبه شد. با مقایسه مقدار رسوب محاسباتی و مشاهداتی معلوم شد با توجه به اختلاف اندک بین مقادیر رسوب ویژه مشاهداتی و رسوب ویژه محاسبه شده و نیز با توجه به سطح اطمینان ۸۵ درصد قابلیت اجرای مدل، مقدار محاسباتی رقم دقیقی از مقدار رسوب تولید شده در حوزه آبخیز زنوزچای می‌باشد. رسوب ویژه مشاهد شده بر اساس آمار ۳۵ ساله (۱۳۸۵-۱۳۵۰) و پس از برقراری منحنی سنجه رسوب بدست آمد. سپس، با استفاده از ضرایب تبیین (R^2) بدست آمده بین وزن‌های رخساره‌های ژئومرفولوژی و وزن‌های درصد تراکم تاج پوشش گیاهی و درصد تندی شیب دامنه و نفوذ پذیری خاک در حوزه آبخیز زنوزچای، رسوب ویژه در حوزه آبخیز زیلبرچای نیز

جدول ۵- نتایج حاصل از رگرسیون چند متغیره به روش گام به گام

تندی شیب دامنه تاج پوشش گیاهی (%) نفوذپذیری خاک	۰/۷۳ ۲/۷ ۰/۸۶ ۰/۸۲ ۰/۴۰ ۰/۳۳	۰/۶۰ ۰/۹ ۰/۸ ۰/۲۲ ۰/۲۵ ۰/۱۶	۰/۷۲ ۰/۸ ۰/۷۲ ۰/۲۲ ۰/۸۳ ۰/۱۳	۰/۵۵ ۰/۱۲ ۰/۶۴ ۰/۳۷ ۰/۸۳ ۰/۱۳	۰/۷۸ ۰/۴ ۰/۴۴ ۰/۴۳ ۰/۴۱ ۰/۹	۰/۶۴ ۰/۳ ۰/۱۴ ۰/۹ ۰/۴۰ ۰/۴	۰/۷۶ ۰/۳ ۰/۲۸ ۰/۱۴ ۰/۲۸ ۰/۷	۰/۳۹ ۰/۸ ۰/۸۲ ۰/۱۷ ۰/۲۰ ۰/۲۳	۰/۸۱ ۰/۳ ۰/۸۲ ۰/۵ ۰/۸۲ ۰/۲	۰/۶۱ ۰/۳ ۰/۸۲ ۰/۵ ۰/۸۲ ۰/۲	۰/۷۰ ۰/۲ ۰/۸ ۰/۵ ۰/۶ ۰/۱	۰/۴۶ ۰/۲ ۰/۴۹ ۰/۵ ۰/۴۶ ۰/۱	ضریب تبیین خطای استاندارد (%) ضریب تبیین خطای استاندارد (%) ضریب تبیین خطای استاندارد (%)
تندی شیب دامنه تاج پوشش گیاهی (%) نفوذپذیری خاک	۰/۷۳ ۲/۷ ۰/۸۶ ۰/۸۲ ۰/۴۰ ۰/۳۳	۰/۶۰ ۰/۹ ۰/۸ ۰/۲۲ ۰/۲۵ ۰/۱۶	۰/۷۲ ۰/۸ ۰/۷۲ ۰/۲۲ ۰/۸۳ ۰/۱۳	۰/۵۵ ۰/۱۲ ۰/۶۴ ۰/۳۷ ۰/۸۳ ۰/۱۳	۰/۷۸ ۰/۴ ۰/۴۴ ۰/۴۳ ۰/۴۱ ۰/۹	۰/۶۴ ۰/۳ ۰/۱۴ ۰/۹ ۰/۴۰ ۰/۴	۰/۷۶ ۰/۳ ۰/۲۸ ۰/۱۴ ۰/۲۸ ۰/۷	۰/۳۹ ۰/۸ ۰/۸۲ ۰/۱۷ ۰/۲۰ ۰/۲۳	۰/۸۱ ۰/۳ ۰/۸۲ ۰/۵ ۰/۸۲ ۰/۲	۰/۶۱ ۰/۳ ۰/۸۲ ۰/۵ ۰/۸۲ ۰/۲	۰/۷۰ ۰/۲ ۰/۸ ۰/۵ ۰/۶ ۰/۱	۰/۴۶ ۰/۲ ۰/۴۹ ۰/۵ ۰/۴۶ ۰/۱	ضریب تبیین خطای استاندارد (%) ضریب تبیین خطای استاندارد (%) ضریب تبیین خطای استاندارد (%)

آماری ۳۵ ساله در سطح معنی‌داری 0.05 و $R^2 = 0.82$ برابر با درصد برقرار شد:

$$Y=0.0534X^{0.768} \quad (4)$$

پس از جایگزینی حجم رواناب محاسباتی (X) در رابطه مذبور، مقدار رسوب معلق سالانه (Y) در سطح حوزه آبخیز زنوزچای، بر حسب $\text{ton/km}^2/\text{y}$ محاسبه و پس از تقسیم بر مساحت حوزه رسوب دهی ویژه برآورد شد. از سویی، با قرار دادن ضرایب همبستگی (R^2) تندی شیب دامنه، درصد تاج پوشش گیاهی و نفوذپذیری خاک با رخساره‌های فرسایشی، در رابطه نمایی بین رسوب ویژه و حجم رواناب تولید شده در سطح حوزه آبخیز زنوزچای، مقدار رسوب ویژه برآورد شد (۵):

$$Y=X^{\left(\frac{R_s}{R_v+R_i}\right)} \quad (5)$$

که در آن R_s ، R_v و R_i به ترتیب ضریب تبیین (R^2) تندی شیب دامنه، درصد تاج پوشش گیاهی و نفوذپذیری خاک در حوزه آبخیز زنوزچای هستند. با توجه به تفاوت انداک میان مقدار رسوب ویژه مشاهداتی و محاسبه شده، مدل ایجاد شده در سطح اطمینان ۸۵ درصد قابل اجرا می‌باشد. در حوزه آبخیز زنوزچای با داشتن بیشترین عدد شبکه تراکم زهکشی، ویژگی‌های ژئومرفولوژیک و همچنین شرایط اقلیمی، نسبت به سایر زیرحوزه‌های حوزه آبخیز زلبرچای، مقدار بیشتری از تولید رسوب موردن انتظار بوده است. به منظور ارزیابی مدل، مقدار رسوب ویژه در حوزه آبخیز زلبرچای، به جهت برخورداری از شرایط اقلیمی و ویژگی‌های ژئومرفولوژیک مشابه با حوزه آبخیز زنوزچای، در سطح اطمینان ۹۱ درصد محاسبه شد. نتایج حاصل از اجرای مدل در دو حوزه آبخیز زنوزچای و زلبرچای در جدول (۶) گنجانده شده است.

طبق داده‌های جدول (۵)، رخساره‌های ژئومرفولوژی در وهله اول متأثر از درصد تاج پوشش گیاهی و سپس تندی شیب دامنه و نفوذپذیری خاک هستند. عرب‌حدری و حکیم‌خانی (۵) نیز با تحلیل رگرسیونی چند متغیره ویژگی‌های هیدروژئومرفولوژیک حوزه آبخیز دریاچه ارومیه، دامنه‌های رو به شمال و غرب را به دلیل برخورداری از پوشش گیاهی بهتر دارای تاثیر کاهنده بر ایجاد فرسایش و تولید رسوب در منطقه دانستند، در حالی که تاثیر واحدهای کواترنر و سنگ‌های حساس به فرسایش را در تولید رسوب مثبت ارزیابی شده است.

صادقی و همکاران (۲۵) و زارع خورمیری و همکاران (۳۶) حجم رواناب تولید شده در حوزه آبخیز تحت تاثیر ویژگی‌های فیزیکی حوزه آبخیز، بویژه شیب دامنه دانسته‌اند. بنابراین، می‌توان رابطه‌ای بین حجم رواناب تولید شده و مقدار فرسایش رخ داده، ایجاد نموده و مقدار رسوب معلق در سطح حوزه آبخیز را تخمین زد. از آنجا که تندی شیب دامنه با مقدار فرسایش خاک رابطه مستقیم دارد و از سویی، نفوذپذیری خاک و درصد تاج پوشش گیاهی، رابطه معکوس با فرسایش خاک و رسوب دهی حوزه آبخیز دارند (۲۲، ۶، ۱) بنابراین ضریب همبستگی شیب دامنه در صورت کسر و مجموع ضرایب همبستگی نفوذپذیری خاک و درصد تاج پوشش گیاهی در مخرج کسر منظور شدند و به منظور محاسبه مقدار رسوب ویژه به صورت نمایی در معادله پیشنهادی دبی-رسوب (۵) قرار داده شدند.

حجم رواناب تولید شده در سطح حوزه‌های آبخیز زلبرچای و زنوزچای به روش SCS محاسبه شد. رابطه نمایی بین داده‌های مشاهداتی دبی و رسوب در ایستگاه پل چرچ روى رودخانه زنوزچای بر اساس طول دوره

جدول ۶- مقادیر رواناب و رسوب ویژه مشاهداتی و محاسباتی در حوزه‌های آبخیز زنجیرچای و زیلبرچای

حوزه آبخیز	هیدرومتری	مساحت (km ²)	ارتفاع رواناب (cm)	CN	رسوب SCS (m ³)	حجم رواناب براساس روش	مشاهده شده (ton/km ²)	مقدار رسوب ویژه محسوب شده (ton/km ²)
زنوز چای	پل چرچ	۳۲۰	۱۱/۶۳	۸۲/۸۴	۳۷۲۱/۶	۱۹۲	۱۶۳/۶۰	
زیلبر چای	مظفرآباد	۲۶۱۴/۳۷	۱۴	۸۰/۱	۳۶۶۰۱/۱۸	۷۴۰	۶۷۴/۹۷	

ویژگی‌های ژئومرفولوژیکی و اقلیمی نسبت به سایر زیرحوزه‌ها بالاتر است، می‌تواند به عنوان حوزه شاهد انتخاب گردد تا ضرایب همبستگی (R^2) سایر عوامل مدل را با انواع رخساره‌های تشکیل یافته محاسبه نموده و با تعیین مدل، به حوزه آبخیز اصلی مقدار رسوب تولید شده در سطح آن تخمین زد.

تشکر و قدردانی

مراتب سیاس و قدردانی، به جناب آقای دکتر عرب‌حدری، عضو هیئت علمی پژوهشکده حفاظت خاک و آبخیزداری، به سبب ارسال نتایج تحقیقات ارزشمندشان تقدیم می‌شود. همچنین از آقایان، دکتر سعادت و مهندس نامدار، کارشناسان سازمان جنگل‌ها، مراتع و آبخیزداری کشور، که پژوهندگان را در راستای به ثمر رسیدن اهداف این تحقیق یاری نموده‌اند، تشکر و قدردانی می‌شود.

در مورد رسوب ویژه مشاهده شده در حوزه آبخیز زیلبرچای، به نتایج پژوهش‌های انجام یافته توسط عرب‌حدری (۴،۳) برای تهییه نقشه فرسایش و رسوب‌دهی حوزه‌های آبخیز در کشور، برای ایستگاه مظفرآباد، واقع در نقطه انتهای خروجی حوزه آبخیز زیلبرچای، استناد شده است. رسوب ویژه محاسباتی اندکی کمتر از مقادیر مشاهداتی هستند، ولی رقمی نزدیک به مقدار مشاهداتی می‌باشد.

ارتباط بین عوامل موثر در فرایند فرسایش شامل اقلیم، توپوگرافی، شرایط خاک و پوشش گیاهی با مقیاس زمانی و مکانی، در ایجاد فرسایش غالب موثر می‌باشند و با مقادیر بار رسوب تولید شده در سطح حوزه آبخیز مرتبط نیستند (۳۵). بنابراین چنین استنباط می‌شود که در حوزه‌های فاقد آمار دبی-رسوب، زیرحوزه‌ای که در آن تنوع رخساره‌های ژئومرفولوژی با حوزه آبخیز اصلی یکسان است و پیش‌بینی تولید رسوب نیز در آن با توجه به

منابع

1. Ahmahi, H. 2007. Applied geomorphology. Tehran University Press, Iran, 688 pp. (In Persian)
2. Asadi, H., M. Vazifehdoost, A. Mousavi and M. Honarmand. 2011. Assessment and mapping of soil erosion hazard in Navrood watershed using revised universal soil loss equation (RUSLE), geographic information system (GIS) and remote sensing (RS). Report of researches Guilan Regional Water Company, 13 pp. (In Persian)
3. Arabkhedri, M. 2005. A study on the sediment suspended yield in river basin of Iran. Journal of Water Resources Researches of Iran, 2: 66-76. (In Persian)
4. Arabkhedri, M., A. Valikhjoni, Sh. Hakimkhani, A.H. Charkhabi and A. Telvari. 2003. Final report of researching project of Iran for estimating and mapping of sediment deposition. Soil Conservation and Watershed Management Research Institute.
5. Arabkhedri, M. and Sh. Hakimkhani. 2006. Regression analysis of suspended sediment load and hydrogeomorphologic characteristics in Orumiyeh lake watershed. Journal of Agriculture Sciences, 37: 223-231. (In Persian)
6. Bayat, R., B. Ghermezcheshmeh and H.Gh. Rafahi. 2011. Considering the role of vegetation conopy on sediment yield. Jounal of Engineering and Watershed Management, Soil Conservation and Watershed Management Research Institue of Iran, 3: 187-195. (In Persian)
7. Draper, N.R. and H. Smith. 1981. Applied regression analysis. John Wiley and Sons, New York, 736 pp.
8. Feiznia, S. 2008. Applied sedimentology with emphasis on soil erosion and sediment production. Gorgan university of Agriculture Sciences and Natural Resources, Iran, 356 pp. (In Persian)
9. Hartley, A.J., G.S. Weissmann, G.J. Nichols and G.L. Warwick. 2009. Distributary fluvial systems: characteristics, distribution and controls on development. Abstract volume, From River to Rock Record-Aberdeen-January: 43-44.
10. Horowitz, A. 2002. The use of rating (transport) curve to predict suspended sediment concentration: A matter of temporal resolution. Peachtree Business Center. Turbidity and other Sediment Surrogates Workshop 3 pp.
11. Jabari, I. and D. Talebpour. 2010. Deposition and decreasing of optimal use of Mahabad dam and signs of changing in the upstream environmental systems. Journal of Geographical researches, University of Isfahan, Iran, 96: 1-20. (In Persian)
12. Jansson, M.B. 1996. Estimating a sediment rating curves of the reventazon river at Palomo using logged mean loads within discharge classes. Journal of Hydrology, 183: 227-241.

13. Jokar Sarhangi, A. and V. Gholami. 2008. The impact of land use changes and on incresing of erosion and suggest a suitable way to land use in the Zaram Rood watershed of Mazandaran by using GIS. Journal of Geography Researches, 23: 127-144. (In Persian)
14. Maleki, M. 2007. Modelling of soil erosion and sedimentation using analytical hierarchy process method (Case study: Latian watershed). Ph.D. thesis, Azad Islamic University, Science and Reseache Baranch of Tehran, Iran, 184 pp. (In Persian)
15. Martinez-Zevala, L., A. Jornan, N. Bellinfant and J. Gill. 2010. Relationship between rock fragment cover and soil hydrological response in a Mediterranean environment. Journal of soil science and plant nutrition, 56: 95-104.
16. Mirzaee, S., M. Gorji and Jafari A. Ardkani. 2012. Effect of surface rock fragment cover on soil erosion and sediment using simulated run off. Journal of soil management and sustainable, Gorgan university of Agriculture Sciences and Natural Resources, Iran, 2: 141-154. (In Persian)
17. Mohammadkhan, Sh., H. Ahmadi and M. Jafary. 2011. Relationship between soil erosion, slope, parent material and distance to road (Case study: Latian Watershed, Iran). Arab Journal of Geoscience, 4: 331-338.
18. Mohammadkhan, Sh. 2009. Quantitative estimation of soil erosion and sediment load based on geomorpholog model (Case study: Latian Watershed). Ph.D. thesis, Faculty of Natural Resources, University of Tehran, Iran, 256 pp. (In Persian)
19. Najafinejad, A., M. Mardian, J. Varvani and V.B. Sheikh. 2011. Evaluation and comparison of representative hill slope and raster based hill slope methods for computation of topography factor in USLE. Journal of Soil Management and Sustainable, 1: 99-116. (In Persian)
20. Nourani,V.N., M. Talebydokhti, J. Abedini and G.R. Rakhshandehroo. 2005. Suspended Sediment Load Estimating Using Geostatistics (Case study: Talkheroood River, Tabriz). Journal of water resources researches of Iran, 2: 56-79. (In Persian)
21. Leier, A.L., P.G. DeCelles and J.D. Pelletier. 2005. Mountains, monsoon sand megafans. Geology, 33: 289-292.
22. Rafahi, H.Gh. 2006. Water erosion and conservation. University of Tehran, Iran, 671p. (In Persian)
23. Rafiee, B., N. Kamani, S. Khodabakhsh and A. Bozorgzadeh. 2010. The performance and calibration of MPSIAC based on physical conditions of watershed (Case study: Bakhtyari river watershed). Journal of Geology of Iran, National Geology Organization, Iran, 14: 63-71. (In Persian)
24. Saadat, H., R. Bonnell, F. Sharifi, G. Mehuys, M. Namdar and S. Ale-Ebrahim. 2011. Land use and land cover classification over a large area in Iran based on single date analysis of satellite imagery. ISPRS Journal of Photogrammetry and Remote Sensing, 118: 388-400.
25. Sadeghi, S.H.R., A. Afzali, M. Vafakhah and A.R. Telvari. 2012. Capability of various statistical analyses in estimation of unit hydrograph components for northern watersheds of Iran. Journal of Watershed Management, 5: 1-15. (In Persian)
26. Saghafian, B., B. Ghermezcheshmeh and M. Samiee. 2008. Regional analysis of sediment in southwest watershed of Iran. Iran Water Resources Management Company (WRMC), 125 pp. (In Persian)
27. Saito, K. and T. Oguchi. 2005. Slope of alluvial fans in humid regions of Japan, Taiwan and the Philippines. Geomorphology, 70:147-162.
28. Servati, M., J. Qodousi and M. Teimouri Yaseri. 2009. Investigating of geomorphological properties in losses in the north of yeli Bedraq of Golestan province. Journal of Natural Geography, 1: 97-114.
29. Shabani, M., S. Feiznia, H. Ahmadi, J. Ghodusi and A. Sarreshtehdari. 2006. Considering effect of land use changing on sediment yield. (Case study: Taleghan watershed). Journal of Natural Resources of Iran, 59: 41-56. (In Persian)
30. Singh, V. P., 1988. Hydrologic systems: rainfall and runoff modelling, Prentice-Hall, Englewood cliffs, New Jersey, USA, 578 pp.
31. Rafahi, H.Gh. 2006. Water erosion and conservation, University of Tehran Press, Iran, 668 pp. (In Persian)
32. Rodriguez, J.L.G. and M.C.G. Suarez. 2010. Historical review of topographical factor LS of water erosion models. Aqua-LAC, 2: 56-61.
33. Tilong, G.W. D. Quanjiu and J.Z. Li. 2010. Effect of surface stone cover on sediment and solute transport on slope of fallow land in the semi-arid loess in the northwestern China. Soils Sediments, 10:1200-1208.
34. Varvani, J., S. Feiznia, H. Ahmadi and M. Jafary. 2008. Evaluation of performance of empirical models storm events sediment yield of drainage basin and introducing calibration coefficients. Journal of Natural Resources of Iran, 60:1225-1239. (In Persian)
35. Vento, J. and J. Poesen. 2005. Predicting soil erosion and sediment yield at the basin scale: Scale issues and semi-quantitative models. Earth-Science Reviews, 71: 95-125.
36. Zare Khormizi, M., A. Najafinejad N. Noura and A. Kavian. 2012. Effect of slope and soil properties on run off and soil loss using rainfall simulator, Chehel Chai watershed, Golesan province. Journal of Soil Management and Sustainable, 19: 165-178. (In Persian)

Using Statistical Hydrogeomorphology Method for Estimating Sediment Yield of Watersheds (Case study: Zonouz Chay and Zilber Chay watersheds)

Leila Kashi Zenouzi¹, Hassan Ahmadi² and Aliakbar Nazari Samani³

1- M.Sc., Islamic Azad University, Science and Research Branch, Tehran

(Corresponding author: lzenouzi@yahoo.com)

2- Professor, Islamic Azad University, Science and Research Branch, Tehran

3- Associate Professor, University of Tehran

Received: January 20, 2013 Accepted: February 5, 2014

Abstract

Watershed erosion and sediment load of rivers are serious water resources management challenges, which have negative consequences on the operation of water installations and dams. This study has done with the aim of investigating the relationship between hydro geomorphologic characteristics and calculation the amount of especial deposition around watersheds, because of depending on the volume of runoff and soil erosion rates or sediment discharge with hydrogeomorphologic characteristics in the watershed. In order to achieving to the object of research and investigating the role of percent of vegetation cover density, slope rates and soil permeability in fancies formation, Zonouz Chai catchment, one of sub-basins of Zilber Chai watershed, which has a higher number of drainage density than other sub-basins was selected and the weights of all effective factors were calculated according to the analytic hierarchy method (AHP). Afterwards, based on the multiple regression model using stepwise method the correlation coefficients (R^2) were determined at 95% confidence level and amount of runoff volume was calculated in Zonouz Chai and Zilber Chai based on SCS method. Finally, correlation coefficients of watershed characteristics were estimated and were replaced as exponential coefficients for discharge-sediment equation, which was suggested. Then especial deposition rates were calculated in Zonouz Chai and Zilber Chai respectively, 163 and 672 (ton/km²/y). Comparison of computational results with observational rates, based on 35 statistic data years, was found, in the two watersheds has acceptable accuracy at 85% and 91%, respectively.

Keywords: Especial Deposition Rate, SCS method, Analytical Hierarchy Process (AHP), Regression analysis, Zonouz Chai